

21. Ричардсон М. К. Суперпозиция напряжений в полуплоскости, содержащей упругий диск из того же материала.— Прикл. механика, 1969, 63Е, № 1, с. 136—138.
22. Росс А. Л. Аналогия термоупругости с задачами о жестко заделанной пластинке.— Теорет. основы инж. расчетов, 1963, 85Д, № 4, с. 121—126.
23. Соколовский В. В. Теория пластичности.— М.: Высш. школа, 1969.— 608 с.
24. Тимошенко С. П., Гудбер Дж. Теория упругости.— М.: Наука, 1975.— 575 с.
25. Тимошенко С. П. Пластинки и оболочки.— М.: Гостехиздат, 1963.— 635 с.
26. Чернышев Г. Н. О действии сосредоточенных сил и моментов на упругую тонкую оболочку произвольного очертания.— Прикл. математика и механика, 1963, 24, № 1, с. 36—41.
27. Cranz H. Die experimentelle Bestimmung der Airyschen Spannungs — funktion mit Hilfe des Plattengleichnisses.— Ing.-Arch., 1939, 10, N 10, S. 159—166.
28. Goodier J. N. On the integration of the thermoelastic equation.— Phil. Mag., 1937, 11, N 29, p. 1017—1027.
29. Jensen V. P. Experimental determination of non-linear distribution of stresses by the slab analogy with application to Hoover Dam.— Univ. Ill., 1931.— 36 p.
30. Mindlin R. D. The analogy between multiply-connected slices and slabs.— Quart. Appl. Math., 1946, 4, N 3, p. 219—286.
31. Mindlin R. D., Salvadori M. G. Analogies.— In: Handbook of experimental stress analysis/Ed. by M. Hetenyi. New York: Wiley, 1950, p. 775—789.
32. Ross A. L. Thermal stress analysis of finite sections: ANPD — APEX 480.— Washington: Office techn. serv. Dep. commer., 1959.— 26 p.
33. Seinosuke Sumi, Eiichi Matsumoto, Tsuyoshi Sekiya. Mechanical analog procedure for solution of plane thermoelastic problems.— In.: Proc. 14th Jap. Nat. Congr. Appl. Mech. Tokyo, 1965, p. 9—19.
34. Slab analogy experiments. Stress studies for Boulder Dam.— In: Boulder Canyon project, pt 5, bull. 2, 4. New York: U. S. Dep. Int. final reports, Bureau of Reclamation, 1938, 135 p.
35. Southwell R. V. On the analogies relating flexure and extension on flat plates.— Quart. J. Mech. and Appl. Math., 1950, 3, pt 3, p. 257—261.
36. Timpe A. Probleme der Spannungsverteilung in ebenen Systemen, einfach gelast mit Hilfe der Airyschen Funktion.— Z. Math. Phys., 1905, 52, S. 348—383.
37. Tremmel E. Über die Anwendung der Plattentheorie zur Bestimmung von Wärmespannungsfeldern. Osterr.— Ing.-Arch., 1957, 11, N 3, S. 165—172.
38. Westergaard H. M. Graphostatics of stress functions.— Trans. ASME, 1934, 56, N 3, p. 141—150.
39. Wieghardt K. Über ein neues Verfahren, Verwickelte Spannungsverteilungen in elastischen Körpern auf experimentellen Wege zu finden.— Mitt. Forsch. aus dem Gebiete des Ingenieurwissens, 1908, H. 49, S. 15—30.
40. Zienkiewicz O. C., Crus C. The use of the slab analogy in the determination of thermal stresses.— Int. J. Mech. Sci., 1962, 4, Jul.— Aug., p. 285—296.

г. Москва

Поступила в редколлегию  
20.02.78

УДК 536.12 ÷ 539.376

Ю. М. Коляно, А. Я. Недосека, Е. Г. Грицько

#### ТЕМПЕРАТУРНОЕ ПОЛЕ В СЛОЕ ПРИ СМЕШАННЫХ ГРАНИЧНЫХ УСЛОВИЯХ

Рассмотрим слой толщиной  $2l$ , на части  $r \leq R_0$  поверхности  $z = l$  которого задан постоянный тепловой поток  $q$ , а через остальную часть этой поверхности и через поверхность  $z = -l$  осуществляется теплообмен с внешней средой нулевой температуры по закону Ньютона, причем по кольцевых зонах  $R_1 \leq r \leq R_4$  поверхности  $z = l$  и  $R_2 \leq r \leq R_3$  поверхности  $z = -l$  охлаждение увеличено путем увеличения коэффициента теплоотдачи с этих областей. Для определения возникающего при этом установившегося температурного поля имеем уравнение теплопроводности

$$\Delta t = 0 \quad (1)$$

и граничные условия

$$\frac{\partial t}{\partial z} = -\frac{\alpha_1}{\lambda} t + \left( \frac{\alpha_1}{\lambda} t + \frac{q}{\lambda} \right) N(r, r - R_0) -$$

$$-\left(\frac{\alpha_4}{\lambda} - \frac{\alpha_1}{\lambda}\right) tN(r - R_1, r - R_4) \text{ при } z = l, \quad (2)$$

$$\frac{\partial t}{\partial z} = \frac{\alpha_3}{\lambda} t + \left(\frac{\alpha_2}{\lambda} - \frac{\alpha_3}{\lambda}\right) tN(r - R_2, r - R_3) \text{ при } z = -l; \quad rt|_{r=0}^{\infty} = 0, \quad (3)$$

где  $\Delta = \frac{1}{r} \frac{\partial}{\partial r} \left( r \frac{\partial}{\partial r} \right) + \frac{\partial^2}{\partial z^2}$ ;  $\lambda$  — коэффициент теплопроводности;  $\alpha_4$  — коэффициент теплоотдачи с области  $R_1 \leq r \leq R_4$  поверхности  $z = l$ ;  $\alpha_1$  — коэффициент теплоотдачи с этой поверхности за пределами областей  $r \leq R_0$  и  $R_1 \leq r \leq R_4$ ;  $\alpha_2$  — коэффициент теплоотдачи с области  $R_2 \leq r \leq R_3$  поверхности  $z = -l$ ;  $\alpha_3$  — коэффициент теплоотдачи с этой поверхности вне зоны  $R_2 \leq r \leq R_3$ ;  $N(a, b) = S_- (a) - S_+ (b)$ ;  $S_{\pm}(\xi)$  — асимметричные единичные функции [1];  $z, r$  — цилиндрические координаты.

Применив к уравнениям (1) — (3) интегральное преобразование Ханкеля по переменной  $r$ , получим

$$\frac{d^2 \bar{t}}{dz^2} - \xi^2 \bar{t} = 0, \quad (4)$$

$$\begin{aligned} \frac{d\bar{t}}{dz} + \frac{\alpha_1}{\lambda} \bar{t} = \frac{q}{\lambda} \frac{R_0 J_1(\xi R_0)}{\xi} + \frac{\alpha_1}{\lambda} \int_0^{R_0} t(r, l) r J_0(r \xi) dr - \\ - \left(\frac{\alpha_4}{\lambda} - \frac{\alpha_1}{\lambda}\right) \int_{R_1}^{R_4} t(r, z) r J_0(r \xi) dr \text{ при } z = l, \end{aligned} \quad (5)$$

$$\frac{d\bar{t}}{dz} - \frac{\alpha_3}{\lambda} \bar{t} = \left(\frac{\alpha_2}{\lambda} - \frac{\alpha_3}{\lambda}\right) \int_{R_2}^{R_3} t(r, z) r J_0(r \xi) dr \text{ при } z = -l. \quad (6)$$

Если размеры областей  $r \leq R_0$ ,  $R_1 \leq r \leq R_4$  поверхности  $z = l$  и области  $R_2 \leq r \leq R_3$  поверхности  $z = -l$  малы по сравнению с толщиной слоя, то значение температуры на этих областях с достаточной степенью точности можно заменить соответственно их интегральными характеристиками [2, 3]

$$\begin{aligned} \vartheta_0 = \frac{2}{R_0^2} \int_0^{R_0} r t(r, l) dr, \quad \vartheta_1 = \frac{2}{R_4^2 - R_1^2} \int_{R_1}^{R_4} r t(r, l) dr, \\ \vartheta_2 = \frac{2}{R_3^2 - R_2^2} \int_{R_2}^{R_3} r t(r, -l) dr. \end{aligned} \quad (7)$$

Заменив  $t$  в подынтегральных выражениях уравнений (5), (6) соответственно на  $\vartheta_0$ ,  $\vartheta_1$  и  $\vartheta_2$ , получим

$$\begin{aligned} \frac{d\bar{t}}{dz} + \frac{\alpha_1}{\lambda} \bar{t} = \left(\frac{q}{\lambda} + \frac{\alpha_1}{\lambda} \vartheta_0\right) f_1 - \vartheta_1 \left(\frac{\alpha_4}{\lambda} - \frac{\alpha_1}{\lambda}\right) f_2 \text{ при } z = l, \\ \frac{d\bar{t}}{dz} - \frac{\alpha_3}{\lambda} \bar{t} = \vartheta_2 \left(\frac{\alpha_2}{\lambda} - \frac{\alpha_3}{\lambda}\right) f_3 \text{ при } z = -l, \end{aligned} \quad (8)$$

где

$$\begin{aligned} f_1 = \frac{R_0 J_1(\xi R_0)}{\xi}; \quad f_2 = \frac{R_4 J_1(\xi R_4) - R_1 J_1(\xi R_1)}{\xi}; \\ f_3 = \frac{R_3 J_1(\xi R_3) - R_2 J_1(\xi R_2)}{\xi}. \end{aligned}$$

Решая краевую задачу (4), (8) и переходя в найденном решении к оригиналу, находим

$$\begin{aligned} t(r, z) = \int_0^{\infty} \left[ \left(\frac{q}{\lambda} + \frac{\alpha_1}{\lambda} \vartheta_0\right) \varphi_1(\xi, z) - \left(\frac{\alpha_4}{\lambda} - \frac{\alpha_1}{\lambda}\right) \vartheta_1 \varphi_2(\xi, z) - \right. \\ \left. - \left(\frac{\alpha_2}{\lambda} - \frac{\alpha_3}{\lambda}\right) \vartheta_2 \varphi_3(\xi, z) \right] \xi J_0(r \xi) d\xi. \end{aligned} \quad (9)$$

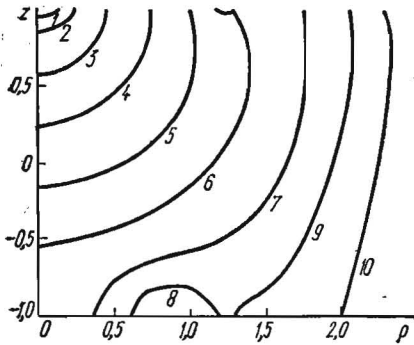
Здесь

$$\varphi_1(\xi, z) = f_1 \left[ \left( \frac{\alpha_3}{\lambda} - \xi \right) e^{-\xi(z+l)} - \left( \frac{\alpha_3}{\lambda} + \xi \right) e^{\xi(z+l)} \right] / D,$$

$$\varphi_2(\xi, z) = f_2 \varphi_1(\xi, z) / f_1,$$

$$\varphi_3(\xi, z) = f_3 \left[ \left( \frac{\alpha_1}{\lambda} - \xi \right) e^{\xi(z-l)} - \left( \frac{\alpha_1}{\lambda} + \xi \right) e^{-\xi(z-l)} \right] / D,$$

$$D = e^{-2\xi l} (\alpha_1/\lambda - \xi) (\lambda_3/\lambda - \xi) - e^{2\xi l} (\alpha_3/\lambda + \xi) (\alpha_1/\lambda + \xi).$$



Подставляя (9) в формулы (7), для определения интегральных характеристик  $\vartheta_0, \vartheta_1, \vartheta_2$  получаем систему уравнений

$$\begin{aligned} d_{11}\vartheta_0 + d_{12}\vartheta_1 + d_{13}\vartheta_2 &= \omega_1, \\ d_{21}\vartheta_0 + d_{22}\vartheta_1 + d_{23}\vartheta_2 &= \omega_2, \\ d_{31}\vartheta_0 + d_{32}\vartheta_1 + d_{33}\vartheta_2 &= \omega_3, \end{aligned} \quad (10)$$

где

$$d_{11} = 1 - \frac{2\alpha_1}{R_0^2\lambda} \int_0^\infty \varphi_1(\xi, l) f_1 \xi d\xi;$$

$$d_{12} = -\frac{2(\alpha_4 - \alpha_1)}{R_0^2\lambda} \int_0^\infty \varphi_2(\xi, l) \xi f_1 d\xi;$$

$$d_{13} = \frac{2(\alpha_2 - \alpha_3)}{R_0^2\lambda} \int_0^\infty \varphi_3(\xi, l) \xi f_1 d\xi; \quad d_{21} = -\frac{2\alpha_1/\lambda}{R_4^2 - R_1^2} \int_0^\infty \varphi_1(\xi, l) \xi f_2 d\xi;$$

$$d_{22} = 1 + \frac{2(\alpha_4 - \alpha_1)}{(R_4^2 - R_1^2)\lambda} \int_0^\infty \varphi_2(\xi, l) \xi f_2 d\xi; \quad d_{23} = \frac{2(\alpha_2 - \alpha_3)}{(R_4^2 - R_1^2)\lambda} \int_0^\infty \varphi_3(\xi, l) \xi f_2 d\xi;$$

$$d_{31} = -\frac{2\alpha_1/\lambda}{R_3^2 - R_2^2} \int_0^\infty \varphi_1(\xi, -l) \xi f_3 d\xi; \quad d_{32} = \frac{2(\alpha_4 - \alpha_1)}{(R_3^2 - R_2^2)\lambda} \int_0^\infty \varphi_2(\xi, -l) \xi f_3 d\xi;$$

$$d_{33} = 1 + \frac{2(\alpha_2 - \alpha_3)}{(R_3^2 - R_2^2)\lambda} \int_0^\infty \varphi_3(\xi, -l) \xi f_3 d\xi; \quad \omega_1 = \frac{2q/\lambda}{R_0^2} \int_0^\infty \varphi_1(\xi, l) \xi f_1 d\xi;$$

$$\omega_2 = \frac{2q/\lambda}{R_4^2 - R_1^2} \int_0^\infty \varphi_1(\xi, l) \xi f_2 d\xi; \quad \omega_3 = \frac{2q/\lambda}{R_3^2 - R_2^2} \int_0^\infty \varphi_1(\xi, -l) \xi f_3 d\xi.$$

Решая систему (10) и подставляя найденные значения интегральных характеристик в (9), получаем формулу для определения температурного поля в слое. Заменив в (9), (10)  $t, z, r, q/\lambda, l, \xi, R_i$  ( $i = 0, 1, 2, 3, 4$ ),  $\alpha_k/\lambda$  ( $k = 1, 2, 3, 4$ ),  $\vartheta_n$  ( $n = 0, 1, 2$ ) соответственно на  $\Theta = \frac{t\lambda}{ql}$ ,  $Z = \frac{z}{l}$ ,  $\rho = \frac{r}{l}$ ,  $1, 1, \eta = \xi l$ ,  $\rho_i = \frac{R_i}{l}$ ,  $Bi_k = \frac{\alpha_k l}{\lambda}$ ,  $T_n = \frac{\vartheta_n \lambda}{ql}$ , запишем решение задачи в безразмерном виде.

На рисунке представлены графики изотерм температурного поля  $\Theta$  в слое, рассчитанные при  $\rho_0 = 0,2$ ;  $\rho_1 = 1$ ;  $\rho_2 = 0,7$ ;  $\rho_3 = 1$ ;  $\rho_4 = 1,3$ ;  $Bi_1 = 0,003$ ,  $Bi_2 = 0,891$ ,  $Bi_3 = 0,003$ ,  $Bi_4 = 0,232$ , причем изотерма 1 соответствует температуре 0,17; 2 — 0,11; 3 — 0,05; 4 — 0,03; 5 — 0,021; 6 — 0,017; 7 — 0,015; 8 — 0,0137; 9 — 0,0138; 10 — 0,013 K. Из рисунка видно, что при заданных  $\rho_i$  ( $i = 0, 1, 2, 3, 4$ ) и  $Bi_k$  ( $k = 1, 2, 3, 4$ ) поведение температурного поля в объеме  $-1 \leq Z \leq 1$ ,  $\rho \leq 2$  с изменением координат нелинейное. В остальном объеме, для которого безразмерный радиус  $\rho$  больше толщины слоя, значения температурного поля выравниваются по толщине слоя с ростом  $\rho$  и приближаются к температуре внешней среды.

СПИСОК ЛИТЕРАТУРЫ

1. Корн Г., Корн Т. Справочник по математике.— М.: Наука, 1974.— 831 с.
2. Коляно Ю. М., Грицко Е. Г. Узкозональный нагрев тел.— ФХОМ, 1977, № 3, с. 149—152.
3. Коляно Ю. М., Грицко Е. Г. Температурное поле в массивных телах при смешанных граничных условиях.— Докл. АН УССР. Сер. А, 1977, № 2, с. 132—136.

Институт прикладных проблем механики и математики АН УССР

Поступила в редколлегию 13.03.78

УДК 539.377

Ю. М. Коляно, П. Т. Муравецкий

**НАПРЯЖЕНИЯ В ПОЛУБЕСКОНЕЧНОЙ ПЛАСТИНКЕ, ОБУСЛОВЛЕННЫЕ ДВИЖУЩИМСЯ ВГЛУБЬ ИСТОЧНИКОМ ТЕПЛА**

Рассмотрим полубесконечную пластинку  $x \geq 0$ , которая нагревается движущимся в направлении оси  $Ox$  призматическим источником тепла мощностью  $q_0$ . В этом случае для определения нестационарного температурного поля в пластинке имеем уравнение теплопроводности

$$\Delta T - \kappa^2 T = \frac{1}{a} \frac{\partial T}{\partial \tau} - \frac{q_0}{\lambda} N(x - v\tau, y) S_+(\tau), \quad (1)$$

где  $\Delta = \frac{\partial^2}{\partial x^2} + \frac{\partial^2}{\partial y^2}$ ;  $\kappa^2 = \frac{\alpha}{\lambda \delta}$ ;  $\alpha, \lambda, a$  — коэффициенты теплоотдачи с поверхностей  $z = \pm \delta$ , теплопроводности, температуропроводности;  $\tau$  — время;  $S_+(\zeta) = \begin{cases} 1, & \zeta > 0, \\ 0, & \zeta \leq 0; \end{cases}$

$$N(x - v\tau, y) = [S_-(x - v\tau) - S_+(x - v\tau - b)] [S_-(y + d) - S_+(y - d)];$$

$S_-(\zeta) = \begin{cases} 1, & \zeta \geq 0, \\ 0, & \zeta < 0; \end{cases}$   $v$  — скорость движения источника тепла. Если размеры  $b$  и  $2d$  источника тепла малы по сравнению с его длиной  $2\delta$ , вместо уравнения теплопроводности (1) получаем уравнение

$$\Delta T - \kappa^2 T = \frac{1}{a} \frac{\partial T}{\partial \tau} - \frac{q}{2\lambda\delta} \delta_+(x - v\tau) \delta(y) S_+(\tau), \quad (2)$$

где

$$\frac{q}{2\delta} \delta_+(x - v\tau) \delta(y) = q_0 \lim_{\substack{b \rightarrow 0, \\ d \rightarrow 0}} N(x - v\tau, y);$$

$$q = q_0 V; \quad V = 4\delta b d.$$

Когда начальная температура пластинки равна нулю, поверхность  $x = 0$  теплоизолирована, на бесконечности температура и ее производная по  $x$  исчезают, то после применения к уравнению (2) косинус-преобразования Фурье по  $x$  и Лапласа по  $\tau$  получаем

$$\frac{d^2 \hat{T}}{dy^2} - \gamma^2 \hat{T} = -4Q \hat{\delta}_+ \delta(y), \quad (3)$$

где

$$\hat{T} = \sqrt{\frac{2}{\pi}} \int_0^\infty dx \int_0^\infty T \cos \xi x e^{-s\tau} dx d\tau; \quad \gamma = \sqrt{\xi^2 + \kappa^2 + \frac{s}{a}}; \quad Q = \frac{q}{8\pi\lambda\delta}.$$

Решение уравнения (3) с учетом граничного условия  $\hat{T}|_{|y| \rightarrow \infty} = 0$  имеет вид

$$\hat{T} = 2Q \hat{\delta}_+ \frac{e^{-\gamma|y|}}{\gamma}. \quad (4)$$